

Opérateurs de projection - Applications (suite)

C - Factorisation de $R(z)$ ① But d'un tel calcul

- Ajoutons un indice 1 aux sous-espaces E et S introduits en A ainsi qu'aux projecteurs P et Q correspondants.

La formule (VI-21) devient :

$$P_1 G(z) P_1 = \frac{P_1}{z - P_1 H_0 P_1} R_1(z) \frac{P_1}{z - P_1 H_0 P_1 - P_1 R_1(z) P_1} \quad (\text{VII-1})$$

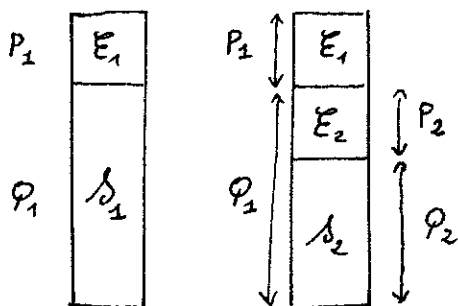
avec

$$R_1(z) = V + V \frac{Q_1}{z - Q_1 H_0 Q_1 - Q_1 V Q_1} V \quad (\text{VII-2})$$

(VII-1) permet de calculer l'amplitude de transition d'un état initial $|i\rangle \in E_1$ à un état final $|f\rangle \in S_1$.

- Considérons une partition (E_2, S_2) dans S_1 .

Fig 4



Soient P_2 et Q_2 les projecteurs sur E_2 et S_2 qui sont 2 sous-espaces supplémentaires de S_1

$$P_2 + Q_2 = Q_1 \quad (\text{VII-3})$$

$$Q_2 = Q_1 - P_2 = 1 - P_1 - P_2 \quad (\text{VII-4})$$

$$P_2 Q_1 = Q_1 P_2 = P_2 \quad (\text{VII-5})$$

$$Q_2 Q_1 = Q_1 Q_2 = Q_2 \quad (\text{VII-6})$$

- But du calcul

Transformer l'expression (VII-2) de $R_1(z)$ de manière à distinguer clairement parmi toutes les transitions qui vont de $|i\rangle$ à $|f\rangle$ celles qui passent intermédiairement par un état de E_2 .

② Transformation de l'expression donnant $R_1(z)$

- Récrivons (VII-2), en posant pour simplifier les notations :

$$z - P_1 H_0 P_1 - Q_1 V Q_1 = C \quad (\text{VII-7})$$

$$\text{Il vient :} \quad R_1 = V + V \frac{P_1}{C} V \quad (\text{VII-8})$$

- Nous allons, dans ce qui suit, travailler dans S_1 . L'opérateur $Q_1 H_0 Q_1 + Q_1 V Q_1$ est un hamiltonien de S_1 , dont la résolvante est $\frac{P_1}{C}$. Comme (E_2, S_2) est une partition de S_1 , on a :

$$\frac{P_1}{C} = P_2 \frac{P_1}{C} P_2 + Q_2 \frac{P_1}{C} P_2 + P_2 \frac{P_1}{C} Q_2 + Q_2 \frac{P_1}{C} Q_2 \quad (\text{VII-9})$$

Les 4 opérateurs du 2^{ème} membre de (VII-9) peuvent être calculés immédiatement à partir des formules (VI-12), (VI-13), (VI-16) et (VI-18) établies en A moyennant la substitution :

$$H_0 \rightarrow Q_1 H_0 Q_1 \quad V \rightarrow Q_1 V Q_1 \quad P \rightarrow P_2 \quad Q \rightarrow Q_2 \quad (\text{VII-10})$$

- On obtient ainsi à partir de (VI-12), (VI-11), et compte tenu de VII-2
(VII-5), (VII-6) :

$$P_2 \frac{\varphi_1}{C} P_2 = G_2(z) = \frac{P_2}{z - P_2 H_0 P_2 - P_2 R_2(z) P_2} \quad (\text{VII-11})$$

avec

$$R_2(z) = V + V \frac{\varphi_2}{z - \varphi_2 H_0 \varphi_2 - \varphi_2 V \varphi_2} V \quad (\text{VII-12})$$

Notons que les 2 opérateurs P_2 et φ_2 qui apparaissent dans VII-11 et VII-12 ne profitent pas sur 2 sous-espaces supplémentaires dans l'espace des états total ($P_2 + \varphi_2 = \varphi_1 \neq 1$). Il ne faut donc pas confondre $G_2(z)$ avec $P_2 G(z) P_2$. $G_2(z)$ décrit une évolution dans E_2 excluant toute transition intermédiaire vers un état de E_1 .

Pour simplifier les notations, nous poserons

$$B = z - P_2 H_0 P_2 - P_2 R_2(z) P_2 \quad (\text{VII-13})$$

$$A = z - \varphi_2 H_0 \varphi_2 - \varphi_2 V \varphi_2 \quad (\text{VII-14})$$

de sorte que (VII-11) et (VII-12) s'écrivent :

$$P_2 \frac{\varphi_1}{C} P_2 = \frac{P_2}{B} = G_2(z) \quad (\text{VII-15})$$

$$R_2 = V + V \frac{\varphi_2}{A} V \quad (\text{VII-16})$$

- On obtient de même à partir de (VI-13), (VI-16) et (VI-18), et compte tenu de (VII-10), (VII-5), (VII-6), (VII-13), (VII-14) :

$$P_2 \frac{\varphi_1}{C} P_2 = \frac{\varphi_2}{A} V \frac{P_2}{B} \quad (\text{VII-17})$$

$$P_2 \frac{\varphi_1}{C} \varphi_2 = \frac{P_2}{B} V \frac{\varphi_2}{A} \quad (\text{VII-18})$$

$$\varphi_2 \frac{\varphi_1}{C} \varphi_2 = \frac{\varphi_2}{A} + \frac{\varphi_2}{A} V \frac{P_2}{B} V \frac{\varphi_2}{A} \quad (\text{VII-19})$$

- En insérant (VII-15), (VII-17), (VII-18), (VII-19) dans (VII-9), on obtient pour R_1 qui est donné par (VII-8) :

$$\begin{aligned} R_1 &= V + V \frac{P_2}{B} V + V \frac{\varphi_2}{A} V \frac{P_2}{B} V + V \frac{P_2}{B} V \frac{\varphi_2}{A} V + V \frac{\varphi_2}{A} V + V \frac{\varphi_2}{A} V \frac{P_2}{B} V \frac{\varphi_2}{A} V \\ &= V + V \frac{\varphi_2}{A} V + \left(V + V \frac{\varphi_2}{A} V \right) \frac{P_2}{B} \left(V + V \frac{\varphi_2}{A} V \right) \end{aligned} \quad (\text{VII-20})$$

c-à-d encore, compte tenu de (VII-16) et (VII-15)

$$\boxed{R_1(z) = R_2(z) + R_2(z) G_2(z) R_2(z)} \quad (\text{VII-21})$$

Le 1^{er} terme de (VII-21) donne les transitions induites par R_1 et ne passant jamais par E_2 ; le 2^{im} terme donne les transitions passant au moins 1 fois par E_2 .

- En reportant (VII-21) dans (VII-1), et en posant

$$G_1(z) = \frac{P_1}{z - P_1 H_0 P_1 - P_1 R_1(z) P_1} \quad (\text{VII-22})$$

on obtient

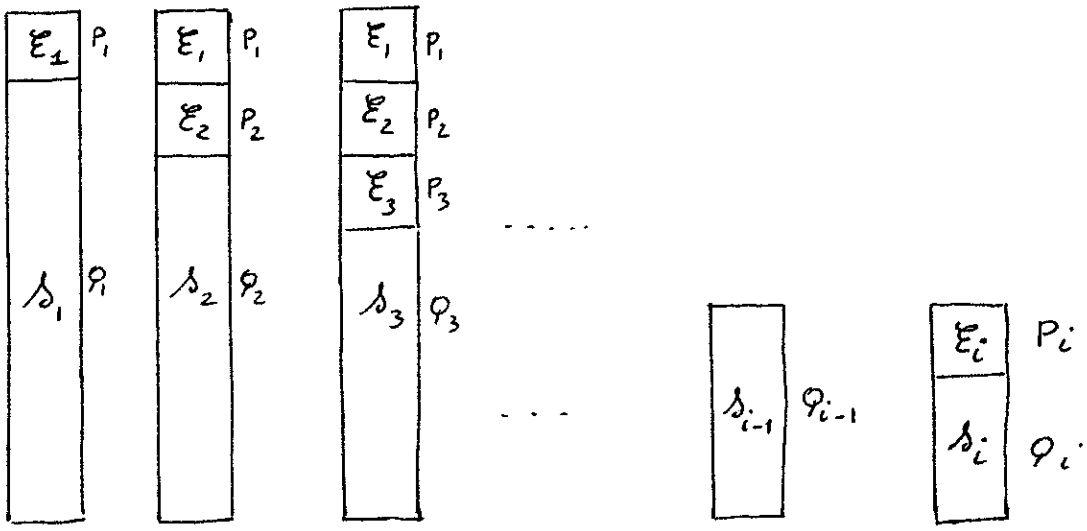
$$P_1 G(z) P_1 = \frac{1}{z - \rho_1 H_0 \rho_1} R_2(z) [1 + G_2(z) R_2(z)] G_1(z) \quad (VII-23)$$

Les 2 termes du crochet de (VII-23) sont respectivement associés aux transitions qui vont de $|i\rangle$ à $|f\rangle$ en passant 0 ou au moins 1 fois par E_2 .

③ Généralisation

- On effectue une partition (E_3, δ_3) dans $\delta_2, \dots (E_i, \delta_i)$ dans δ_{i-1} .

Fig 5



$$P_i + \rho_i = \rho_{i-1} \quad P_i \rho_{i-1} = \rho_{i-1} P_i = P_i \quad \rho_i \rho_{i-1} = \rho_{i-1} \rho_i = \rho_i \quad (VII-24)$$

- Par récurrence, on généralise aisément les résultats du § précédent. Une fois arrivé à $R_{i-1}(z)$ donné par :

$$R_{i-1}(z) = V + V \frac{\rho_{i-1}}{z - \rho_{i-1} H_0 \rho_{i-1} - \rho_{i-1} V \rho_{i-1}} V \quad (VII-25)$$

on transforme aisément (VII-25) en considérant la partition (E_i, δ_i) de δ_{i-1} . On obtient ainsi la relation suivante, analogue de (VII-21)

$$R_{i-1}(z) = R_i(z) + R_i(z) G_i(z) R_i(z) \quad (VII-26)$$

où

$$R_i(z) = V + V \frac{\rho_i}{z - \rho_i H_0 \rho_i - \rho_i V \rho_i} V \quad (VII-27)$$

$$G_i(z) = \frac{\rho_i}{z - \rho_i H_0 \rho_i - \rho_i R_i(z) \rho_i} \quad (VII-28)$$

(Là encore, comme $P_i + \rho_i \neq 1$, $G_i(z) \neq P_i G(z) P_i$. $G_i(z)$ décrit une évolution dans E_i excluant toute transition intermédiaire vers $E_1 \oplus E_2 \oplus E_3 \dots \oplus E_{i-1}$. Seul $G_1(z) = P_1 G(z) P_1$ puisque $P_1 + \rho_1 = 1$).

Parmi toutes les transitions passant dans δ_{i-1} et décrites par R_{i-1} , (VII-26) distingue celles qui ne passent jamais dans E_i de celles qui y passent au moins 1 fois.

- Remplaçons dans (VII-23) $R_2(z)$ par son expression en fonction de R_3 et G_3 calculée à partir de VII-26. Il vient :

$$P_1 G(z) P_1 = \frac{1}{z - P_1 H_0 P_1} R_3(z) [1 + G_3(z) R_3(z)] [1 + G_2(z) R_2(z)] G_1(z) \quad (VII-29)$$

et ainsi de suite jusqu'à :

$$P_1 G(z) P_1 = \frac{1}{z - P_1 H_0 P_1} R_i (1 + G_i R_i) (1 + G_{i-1} R_{i-1}) \dots (1 + G_2 R_2) G_1 \quad (VII-30)$$

Si l'on veut que le système partant de $|i\rangle$ aboutisse à $|f\rangle$ en passant intermédiairement et successivement par $E_2, E_3, \dots, E_{i-1}, E_i$, il faut nécessairement prendre, parmi les $(2)^{i-1}$ termes de (VII-30), le suivant :

$$\frac{1}{z - P_1 H_0 P_1} R_i G_i R_i G_{i-1} R_{i-1} \dots G_2 R_2 G_1 \quad (VII-31)$$

D- Applications à l'étude de l'émission spontanée en cascade de 2 photons

① But de ce §

Un atome, initialement excité dans l'état e_1 retombe dans l'état fondamental f en passant intermédiairement par e_2 et en émettant successivement, 2 photons de fréquences voisines de ω_1 et ω_2 .
Quelle est la répartition spectrale du rayonnement émis par l'atome au cours de cette cascade ?

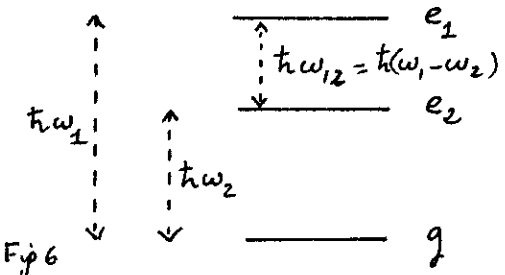


Fig 6

② Sous-espaces E_1 et E_2 . Etats initial et final - Amplitude de transition

- E_1 : sous espace à 1 dimension sous-tendu par $|e_1, 0\rangle$
- E_2 : sous espace à une infinité de dimension sous-tendu par l'ensemble des états $|e_2, \vec{k}, \vec{\epsilon}\rangle$ (pour tout \vec{k} et $\vec{\epsilon}$)

{ Etat initial : $|i\rangle = |e_1, 0\rangle \in E_1$ (VII-32)

{ Etat final : $|f\rangle = |g; \vec{k}_A \vec{\epsilon}_A, \vec{k}_B \vec{\epsilon}_B\rangle \in S_1$ (VII-33)

L'amplitude de probabilité pour que l'atome soit retombé dans l'état fondamental g en émettant 2 photons A et B d'énergies $h\omega_A = h\nu_{k_A}$ et $h\omega_B = h\nu_{k_B}$, s'obtient en intégrant le long de C_+ l'élément de matrice suivant de (VII-23) :

$$\frac{1}{z - h\omega_A - h\omega_B} \langle g, \vec{k}_A \vec{\epsilon}_A, \vec{k}_B \vec{\epsilon}_B | R_2(z) [1 + G_2(z) R_2(z)] G_1(z) | e_1, 0 \rangle \quad (VII-34)$$

(On a utilisé le fait que $\langle g, \vec{k}_A \vec{\epsilon}_A, \vec{k}_B \vec{\epsilon}_B |$ est bra propre de $P_1 H_c P_1$ de valeur propre $h\omega_A + h\omega_B$).

③ Approximations faites

L'expression (VII-34) est exacte. Nous allons maintenant introduire un certain nombre d'approximations

(i) Nous négligeons le facteur 1 du crochet de (VII-34)

Nous nous intéressons en effet à la cascade $e_1 \rightarrow e_2 \rightarrow g$.

L'atome passe intermédiairement par e_2 . ω_A et ω_B seront donc voisins de ω_{12} et ω_2 et tous les processus correspondants à un état excité intermédiaire autre que e_2 (et compris entre g et e_1) seront non résonnants pour ces valeurs de ω_A et ω_B ; ils contribueront de manière très faible à l'amplitude de transition

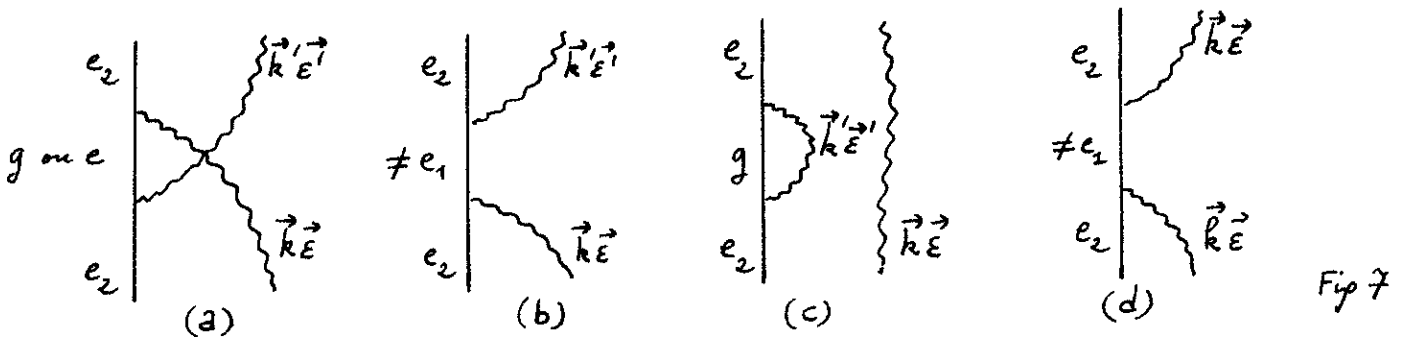
(ii) On remplace $G_1(z)$ par :

$$G_1(z) = \frac{1}{z - \hbar\omega_1 - \hbar\Delta_1 + i\hbar\frac{\Gamma_1}{2}} \quad (\text{VII-35})$$

où $\hbar\omega_1$ est l'énergie de e_1 , $\hbar\Delta_1$ et $\hbar\Gamma_1$ le Lamb-shift et la largeur naturelle de e_1 associés à l'émission spontanée d'un photon par un atome dans e_1 et qui tombe dans un état d'énergie inférieure (e_2 + tous les autres). On néglige la dépendance en z de Δ_1 et Γ_1 , ce qui revient à négliger la décroissance non exponentielle de e_1 [on remplace dans $\Delta_1(z)$ et $\Gamma_1(z)$, z par $\hbar\omega_1 + i\epsilon$].

(iii) Calcul approché de $G_2(z)$

Comme E_2 comporte plusieurs états, $G_2(z)$ a à la fois des éléments diagonaux et non diagonaux



- les éléments non diagonaux de $G_2(z)$ correspondent à la diffusion d'un photon $\vec{k}\vec{E}$ par l'atome dans l'état e_2 (voir par exemple les figures 7a et 7b). Comme on est parti de l'état $|e_1, 0\rangle$, le photon $\vec{k}\vec{E}$ a nécessairement été émis auparavant par l'atome. Cette diffusion ne peut être résonnante. Le projecteur P_2 qui apparaît dans les expressions VII-11 et VII-12 de G_2 exclut par exemple que l'état intermédiaire du diagramme 7b soit e_1 , ce qui exclut toute diffusion résonnante du photon $\vec{k}\vec{E}$ (qui, ayant été émis par e_1 , a une fréquence voisine de ω_{12})
- les éléments diagonaux de G_2 correspondent à l'émission spontanée du niveau e_2 , le photon $\vec{k}\vec{E}$ étant "spectateur" (voir fig 7c), ou à la diffusion vers l'avant du photon $\vec{k}\vec{E}$ (voir 7d)
- Nous négligerons tous les processus de diffusion (non-résonnante) par l'atome d'un photon $\vec{k}\vec{E}$ émis auparavant et ne garderons que les éléments diagonaux de G_2 où le photon $\vec{k}\vec{E}$ est spectateur (fig 7c). Nous poserons donc

$$\langle e_2, \vec{k}'\vec{E}' | G_2(z) | e_2, \vec{k}\vec{E} \rangle = \delta_{\vec{k}\vec{k}'} \delta_{\vec{E}\vec{E}'} \frac{1}{z - \hbar\omega_2 - \hbar i\epsilon - \hbar\Delta_2 + i\hbar\frac{\Gamma_2}{2}} \quad (\text{VII-36})$$

où $\hbar\Delta_2$ et $\hbar\Gamma_2$ sont le Lamb-shift et la largeur naturelle de e_2 .

Dans les processus de la figure 7c, l'atome interagit avec tous les modes $\vec{k}'\vec{E}'$ du champ, et le fait que le mode $\vec{k}\vec{E}$ ne soit pas vide et contienne un photon introduit une correction négligeable. C'est pourquoi nous utilisons en VII-36 les quantités Δ_2 et Γ_2 relatives à l'état excité e_2 isolé.

- On voit que les éléments diagonaux de $G_2(z)$ écrits en VII-36 peuvent être de l'ordre de $1/\hbar\Delta_2$ ou $1/\hbar\Gamma_2$ au voisinage de $z = \hbar\omega_2 + \hbar i\kappa$. C'est ce qui justifie le fait de négliger les éléments non diagonaux de $G_2(z)$ qui sont de l'ordre de l'inverse d'une fréquence optique donc beaucoup plus petits.

(iv) Calcul approché de $R_2(z)$

On remplace $R_2(z)$ par son expression d'ordre le plus bas conduisant à un résultat non nul à partir de VII-34, c-à-d par V.

Les 4 approximations précédentes conduisent alors à l'expression suivante:

$$\frac{\langle g, \vec{k}_A \vec{E}_A, \vec{k}_B \vec{E}_B | V | e_2, \vec{k}_B \vec{E}_B \rangle \langle e_2, \vec{k}_B \vec{E}_B | V | e_1, 0 \rangle}{(z - \hbar\omega_A - \hbar\omega_B)(z - \hbar\omega_2 - \hbar\omega_B - \hbar\Delta_2 + i\hbar\frac{\Gamma_2}{2})(z - \hbar\omega_1 - \hbar\Delta_1 + i\hbar\frac{\Gamma_1}{2})} + \text{Terme analogue } A \rightleftharpoons B \quad (\text{VII-37})$$

pour l'élément de matrice de ρ, G, P_1 entre $|i\rangle$ et $\langle f|$. Les 2 termes de (VII-37) correspondent aux 2 ordres possibles d'émission des 2 photons $\hbar\omega_A$ et $\hbar\omega_B$ (voir figures 8a et 8b)

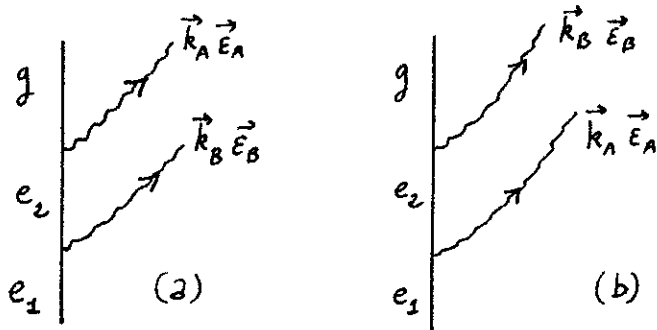


Fig. 8

(4) Calcul de l'amplitude de transition

On s'intéresse à la distribution spectrale du rayonnement émis, c-à-d à la limite $t \rightarrow \infty$ de l'amplitude de transition. Lors de l'intégration le long du contour C_+ , seul le pôle sur l'axe réel de (VII-37), en $z = \hbar\omega_A + \hbar\omega_B$, donne une contribution qui ne tend pas vers zéro quand $t \rightarrow \infty$ (les contributions des pôles associés aux états instables décroissent exponentiellement en $e^{-\Gamma_1 t/2}$ et $e^{-\Gamma_2 t/2}$). On obtient donc finalement pour l'amplitude de transition

$$\frac{V_{ge_2}^A V_{e_2e_1}^B}{(\omega_A - \omega_2 - \Delta_2 + i\frac{\Gamma_2}{2})(\omega_A + \omega_B - \omega_1 - \Delta_1 + i\frac{\Gamma_1}{2})} + \frac{V_{ge_2}^B V_{e_2e_1}^A}{(\omega_B - \omega_2 - \Delta_2 + i\frac{\Gamma_2}{2})(\omega_A + \omega_B - \omega_1 - \Delta_1 + i\frac{\Gamma_1}{2})} \quad (\text{VII-38})$$

où $V_{\alpha\beta}^c = \langle \alpha, \vec{k}_c \vec{E}_c | V | \beta, 0 \rangle \quad (\text{VII-39})$

est l'élément de matrice correspondant à l'émission d'un photon $\vec{k}_c \vec{E}_c$ par l'atome tombant de β à α . Nous négligerons la variation des V avec l'énergie des photons dont ils décrivent l'émission car cette variation est lente devant celle des dénominateurs.

La règle pour obtenir (VII-38) à partir des diagrammes (8a) et (8b) est simple. On ajoute aux énergies des états instables les énergies complexes $\Delta_1 - i\frac{\Gamma_1}{2}$ et $\Delta_2 - i\frac{\Gamma_2}{2}$, et on calcule la valeur des propagateurs correspondant à (8a) et (8b) pour l'énergie $\hbar\omega_A + \hbar\omega_B$ de l'état final qui est stable.

⑤ Distribution spectral du rayonnement émis

- En élevant (VII-38) au carré (en module), on obtient la probabilité $I(\omega_A, \omega_B)$ d'avoir 2 photons émis de fréquences ω_A et ω_B . On a d'après (VII-38):

$$I(\omega_A, \omega_B) = I(\omega_B, \omega_A) \tag{VII-40}$$

- Un spectromètre ne mesure pas les corrélations entre les fréquences des 2 photons émis, mais la probabilité pour que l'un quelconque des 2 photons ait la fréquence ω_A . Un tel instrument mesure donc la densité spectrale réduite:

$$I(\omega_A) = \int d\omega_B I(\omega_A, \omega_B) \tag{VII-41}$$

- En élevant (VII-38) au carré (en module), et en effectuant l'intégrale sur ω_B par la méthode des résidus, on obtient aisément:

$$I(\omega_A) \sim \frac{|V_{ge_2}^A V_{e_2e_1}^B|^2}{\Gamma_1} \frac{1}{(\omega_A - \tilde{\omega}_2)^2 + (\frac{\Gamma_2}{2})^2} + \frac{|V_{ge_2}^B V_{e_2e_1}^A|^2 (\Gamma_1 + \Gamma_2)}{\Gamma_1 \Gamma_2} \frac{1}{(\omega_A - \tilde{\omega}_{12})^2 + (\frac{\Gamma_1 + \Gamma_2}{2})^2} - \frac{1}{\Gamma_2} 2\text{Re} \frac{V_{ge_2}^{B*} V_{e_2e_1}^{A*} V_{ge_2}^A V_{e_2e_1}^B}{(\omega_A - \tilde{\omega}_2 + i\frac{\Gamma_2}{2})(\omega_A - \tilde{\omega}_{12} + i\frac{\Gamma_1 + \Gamma_2}{2})} \tag{VII-42}$$

où l'on a posé

$$\begin{cases} \tilde{\omega}_2 = \omega_2 + \Delta_2 \\ \tilde{\omega}_{12} = \omega_1 + \Delta_1 - \omega_2 - \Delta_2 \end{cases} \tag{VII-43}$$

- Les 3 termes de (VII-42) proviennent respectivement du carré du 1^{er} terme de (VII-38), du carré du 2^{em} terme de (VII-38) et du double produit (terme d'interférence entre 8a et 8b)

(i) Cas de 3 niveaux e_1, e_2, g non-équirépartis: $|\tilde{\omega}_{12} - \tilde{\omega}_2| \gg \Gamma_1, \Gamma_2$

Les 2 parenthèses du dénominateur du 3^{em} terme de (VII-42) ne peuvent jamais être simultanément petites. Le terme d'interférence de (VII-42) est donc plus petit que les 2 termes carrés par un facteur de l'ordre de $|\Gamma / (\tilde{\omega}_2 - \tilde{\omega}_{12})| \ll 1$. Nous le négligerons.

La distribution spectrale du rayonnement émis consiste donc en 2 courbes de Lorentz (fig. 9)

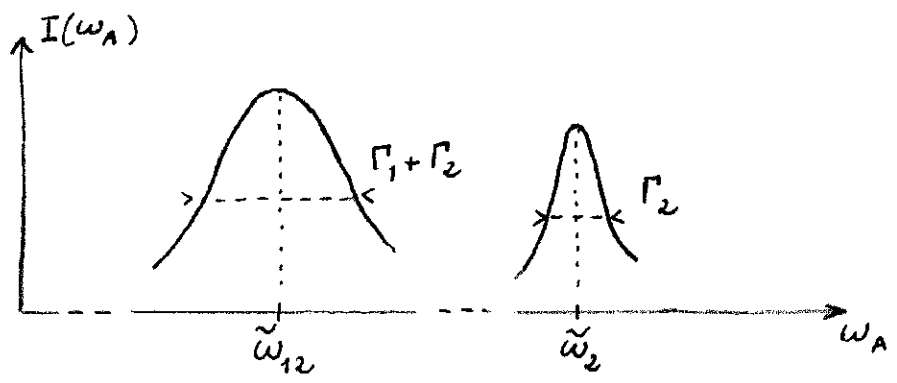


Fig 9

On obtient une courbe centrée en $\tilde{\omega}_2 = \omega_2 + \Delta_2$, de largeur Γ_2 (transition $e_2 \leftrightarrow g$) et une autre courbe centrée en $\tilde{\omega}_{12} = \omega_1 + \Delta_1 - \omega_2 - \Delta_2$ de largeur $\Gamma_1 + \Gamma_2$ (transition $e_1 \leftrightarrow e_2$). Une transition reliant 2 niveaux instables est donc déplacé d'une quantité égale à la différence entre les Lamb-shifts des 2 états; elle a pour largeur la somme des largeurs naturelle des 2 états.

(ii) Cas de 3 niveaux équidistants ($|\tilde{\omega}_{12} - \tilde{\omega}_2| \lesssim \Gamma_1, \Gamma_2$)

Cette fois le terme d'interférence de VII-42 est important, et il faut le garder car il peut modifier profondément les prévisions précédentes. Nous allons illustrer ce point en étudiant plus en détail l'émission spontanée d'un oscillateur harmonique.

E. Emission spontanée d'un oscillateur harmonique

① Largeur naturelle et Lamb-shift du niveau $|\varphi_n\rangle$

A l'approximation dipolaire électrique, la largeur naturelle et le Lamb-shift du niveau d'énergie $|\varphi_n\rangle$ d'un oscillateur harmonique sont proportionnels à $|\langle \varphi_{n-1} | X | \varphi_n \rangle|^2$, c.-à-d. à n .

Un déplacement du niveau $|\varphi_n\rangle$, proportionnel à n , ne modifie pas l'équidistance entre les niveaux d'énergie. Nous supposons le Lamb-shift réinclus dans la fréquence ω_0 de l'oscillateur. La largeur naturelle Γ_n du niveau $|\varphi_n\rangle$ sera notée

$$\Gamma_n = n \Gamma \quad (VII-44)$$

où Γ est la largeur naturelle du niveau $|\varphi_1\rangle$

Une généralisation brutale des résultats obtenus au § D5 précédent laisserait croire que la raie émise par l'oscillateur tombant de $|\varphi_n\rangle$ à $|\varphi_{n-1}\rangle$ a une largeur égale à $\Gamma_n + \Gamma_{n-1} = (2n-1)\Gamma$, ce qui signifierait que la largeur spectrale du rayonnement émis par un oscillateur croît avec l'excitation de cet oscillateur. Un tel résultat est faux comme nous allons le voir maintenant.

② Raie émise par l'oscillateur initialement excité en $|\varphi_1\rangle$

C'est une lorentzienne centrée en ω_0 et de largeur Γ

③ Raie émise par l'oscillateur initialement excité en $|\varphi_2\rangle$

On a alors une cascade $|\varphi_2\rangle \rightarrow |\varphi_1\rangle \rightarrow |\varphi_0\rangle$. Les 2 diagrammes analogues à ceux de la figure 8 sont représentés en 10.

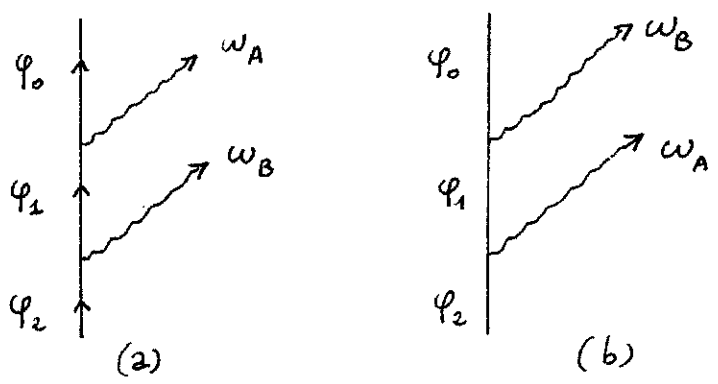


Fig 10

Comme les 3 niveaux $|\varphi_2\rangle, |\varphi_1\rangle, |\varphi_0\rangle$ sont équidistants les 2 diagrammes (10 a) et (10 b) peuvent être simultanément importants quand ω_A et ω_B sont voisins de ω_0 , de sorte que le carré de leur somme n'est pas égal à la somme de leur carrés. Pour le montrer, appliquons la formule (VII-38) au cas qui nous intéresse ici. On obtient pour l'amplitude globale de transition une quantité proportionnelle à :

$$\frac{\sqrt{1} \sqrt{2}}{(\omega_A - \omega_0 + i\frac{\Gamma}{2})(\omega_A + \omega_B - 2\omega_0 + i\Gamma)} + \frac{\sqrt{1} \sqrt{2}}{(\omega_B - \omega_0 + i\frac{\Gamma}{2})(\omega_A + \omega_B - 2\omega_0 + i\Gamma)} =$$

$$\frac{\sqrt{2}}{(\omega_A + \omega_B - 2\omega_0 + i\Gamma)} \left(\frac{1}{\omega_A - \omega_0 + i\frac{\Gamma}{2}} + \frac{1}{\omega_B - \omega_0 + i\frac{\Gamma}{2}} \right) = \frac{\sqrt{2}}{(\omega_A - \omega_0 + i\frac{\Gamma}{2})(\omega_B - \omega_0 + i\frac{\Gamma}{2})} \quad (VII-45)$$

On voit que la somme des 2 amplitudes associées à (10-a) et (10-b) se factorise et que les fréquences des 2 photons émis en cascade sont non-correlées. En élevant au carré (VII-45) et en intégrant sur ω_B , on trouve que la distribution spectrale du rayonnement émis est simplement :

$$\frac{1}{(\omega_A - \omega_0)^2 + (\frac{\Gamma}{2})^2} \quad (VII-46)$$

c.-à-d. une lorentzienne centrée en ω_0 et de largeur Γ (comme pour le cas de l'excitation en $|\varphi_1\rangle$). C'est donc bien le terme d'interférence entre (10 a) et (10 b) qui fait disparaître la raie de largeur 3Γ et centrée en ω_0 qui provient de l'intégration sur ω_B du carré de l'amplitude associée à (10 b).

④ Raie émise par l'oscillateur initialement excité en $|\varphi_3\rangle$

- Il y a maintenant $n! = 3! = 6$ amplitudes différentes correspondant aux 6 ordres possibles d'émission des photons $\omega_A, \omega_B, \omega_C$. Ces amplitudes se calculent au moyen de la

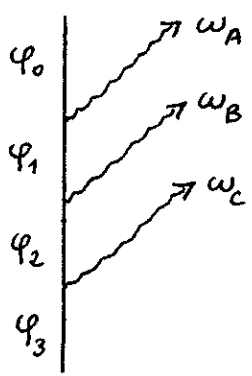


Fig 11

formule (VII-30) et des mêmes approximations que celles effectuées au § D-3. Comme dans ce §, on trouve qu'il suffit d'ajouter l'énergie complexe $-i\frac{\Gamma}{2}$ à l'énergie de chaque état intermédiaire instable $|\varphi_n\rangle$ et d'évaluer le propagateur correspondant à un diagramme donné pour la valeur de l'énergie de l'état stable final, qui vaut ici $\hbar\omega_A + \hbar\omega_B + \hbar\omega_C$. Ainsi l'amplitude associée au diagramme de la figure 11 vaut

$$\sqrt{3!} \frac{1}{(\omega_A - \omega_0 + i\frac{\Gamma}{2})} \frac{1}{(\omega_A + \omega_B - 2\omega_0 + i\Gamma)} \frac{1}{(\omega_A + \omega_B + \omega_C - 3\omega_0 + 3i\frac{\Gamma}{2})} \quad (VII-47)$$

Il faut maintenant sommer (VII-47) sur toutes les permutations possibles des 3 photons $\omega_A \omega_B \omega_C$

- Sommons tout d'abord sur les $2!$ permutations laissant inchangé le 1^{er} photon émis ω_c . D'après les résultats du § 3 précédent:

$$\sum_{\text{permuts } A, B} \frac{1}{(\omega_A - \omega_0 + i\frac{\Gamma}{2})(\omega_A + \omega_B - 2\omega_0 + i\Gamma)} = \frac{1}{(\omega_A - \omega_0 + i\frac{\Gamma}{2})(\omega_B - \omega_0 + i\frac{\Gamma}{2})} \quad (VII-48)$$

En multipliant haut et bas (VII-48) par $(\omega_c - \omega_0 + i\frac{\Gamma}{2})$, on obtient pour amplitude de probabilité de l'ensemble des processus où le 1^{er} photon émis est ω_c [somme de VII-47 sur les permutations de A, B]:

$$\sqrt{3!} \frac{1}{\omega_A + \omega_B + \omega_c - 3\omega_0 + 3i\frac{\Gamma}{2}} \times \frac{\omega_c - \omega_0 + i\frac{\Gamma}{2}}{(\omega_A - \omega_0 + i\frac{\Gamma}{2})(\omega_B - \omega_0 + i\frac{\Gamma}{2})(\omega_c - \omega_0 + i\frac{\Gamma}{2})} \quad (VII-49)$$

- Il faut maintenant sommer $n=3$ expressions analogues à (VII-49) et différent par la fréquence ω_c du 1^{er} photon émis. Ces 3 expressions ont même dénominateur. Il suffit donc d'ajouter les numérateurs

$$\sum (\omega_c - \omega_0 + i\frac{\Gamma}{2}) = \omega_A + \omega_B + \omega_c - 3\omega_0 + 3i\frac{\Gamma}{2} \quad (VII-50)$$

ce qui simplifie le 1^{er} dénominateur de (VII-49) et donne finalement pour l'amplitude de transition globale

$$\frac{\sqrt{3!}}{(\omega_A - \omega_0 + i\frac{\Gamma}{2})(\omega_B - \omega_0 + i\frac{\Gamma}{2})(\omega_c - \omega_0 + i\frac{\Gamma}{2})} \quad (VII-51)$$

⑤ Généralisation : oscillateur initialement dans l'état $|\varphi_n\rangle$

Le raisonnement précédent se généralise aisément par récurrence. On somme d'abord sur les $(n-1)!$ processus laissant inchangé le 1^{er} photons émis, ce qui permet d'utiliser la factorisation supposée valable pour une excitation initiale du niveau $|\varphi_{n-1}\rangle$. Puis on somme l'expression ainsi obtenue (et analogue de VII-49) sur les n fréquences possibles du 1^{er} photon émis, ce qui permet d'éliminer le dénominateur $(\omega_A + \omega_B + \dots + \omega_N - n\omega_0 + ni\frac{\Gamma}{2})$ et d'obtenir l'amplitude

$$\frac{\sqrt{n!}}{(\omega_A - \omega_0 + i\frac{\Gamma}{2})(\omega_B - \omega_0 + i\frac{\Gamma}{2}) \dots (\omega_N - \omega_0 + i\frac{\Gamma}{2})} \quad (VII-52)$$

Les N photons émis ont des fréquences non-corrélés. La distribution spectrale du rayonnement émis, obtenue en élevant (VII-52) au carré et en intégrant sur $\omega_B, \omega_C, \dots, \omega_N$ est toujours une lorentzienne centrée en ω_0 et de largeur Γ .

Références sur les opérateurs de projection

- 1 - Cours de N. KROLL dans les Houches 64.
- 2 - L. MOWER Phys. Rev. 142, 799 (1966) et 165, 195 (1968)
- 3 - A.S. GOLDHABER and K.M. WATSON Phys. Rev. 160, 1151 (1967)

Autres problèmes intéressants non abordés

- Corrélations entre les polarisations de 2 photons émis dans une cascade.
- Corrélations angulaire perturbées par un champ magnétique